

傅立葉轉換在氣象上的應用

申博文 呂木村

空軍氣象中心

摘要

傅立葉轉換 (Fourier Transform) 在科學界廣泛地被運用解決各種問題，並且曾被喻為“數學中美麗的詩篇”。

本文嘗試說明傅立葉轉換 (CFT) 和離散傅立葉轉換 (DFT) 之間的關係，兩者之間連繫的橋樑——取樣定理 (sampling theorem) 亦加以剖析研究。文末並說明如何利用快速傅立葉轉換 (FFT) 去計算 CFT 的解，並且利用此一步驟求得偶流 (doublet)，渦旋流 (point vortex) 的基本流場。

一、前言

在介紹傅立葉轉換之前，讓我們先看看什麼是廣義傅立葉級數。像這樣的一組方程式再加上邊界條件，我們稱之為 Sturm-Liouville Problem (S-L problem, kreyzig(1983))

$$(ry')' + (q + \lambda p)y = 0 \quad a \leq t \leq b \\ k_1 y(a) + k_2 y'(a) = 0 \quad (k_1, k_2 \text{ 不全為 } 0) \\ l_1 y(b) + l_2 y'(b) = 0 \quad (l_1, l_2 \text{ 不全為 } 0) \quad (1)$$

其中 $p(t)$ 稱之為權重函數， λ 稱之為特徵值，這個微分方程式的解有以下特性：

- (1) 解有可數的無限多個 (countable infinite)
- (2) 特徵值 λ 為實數
- (3) 這些解彼此正交 (orthogonal)

基於以上特性，這些解的集合可以組成一個完全集 (complete set)，用以描述一個函數。如果 $f(t)$ 是定義在 (a, b) 之間的函數， $y_n (n=0 \sim \infty)$ 是上式的解，則函數可以寫成

$$f(t) = \sum_{n=0}^{\infty} a_n y_n(t) \quad a_n = \frac{\int_a^b f(t) y_n(t) p(t) dt}{\int_a^b y_n(t) p(t) dt} \quad (2)$$

這級數便稱為廣義傅立葉級數。而 $f(t)$ 在 $\{y_n\}$ 構成的空間中，以 $a_n (n=0 \sim \infty)$ 來描述。

而三角級數正是某一特別的 S-L problem 的解，因此三角級數可以做為基底用以描述一個函數。

當函數利用三角級數展開時， $f(t) = \sum_{n=0}^{\infty} a_n \exp \frac{i 2n \pi t}{T}$

， T 為週期，等號右邊可視為許多不同週期的波動疊加 (superposition) 起來，而 a_n 正是不同頻率 (週期的倒數) 的波動，其振幅的大小。值得注意的是，這些疊加波動的頻率，是基頻 ($\frac{1}{T}$) 的整數

倍，是離散 (discrete) 分佈的。因為 a_n 與頻率有關，而 a_n 描述了 $f(t)$ ，因此我們說函數 $f(t)$ 由時間域轉到頻率域。

a_n 是不同頻率波動的振幅大小，其值愈大代表函數 $f(t)$ 的性質愈接近該頻率的波。而研究不同頻率的波，其對函數行為的影響程度，便稱為波譜分析，至於正模法 (normal modes method) 則是用來求取振幅大小 (a_n) 的。

以上所述大半強調一有限區域的函數或是周期函數，被三角級數表示 (展開) 的情形，而當函數

既非週期，且定義域亦非有限，則是否仍可以用三角函數表示呢？結果是肯定的，我們可以將此類函數視為一週期為 T_0 ，而 $T_0 \rightarrow \infty$ ，如此函數便可以有類似(Eq 2)的表示式了。但其“和”(summation)變成了“積分”(integral)了，而頻率不再是離散的，而變為連續的了。這便是所謂的傅氏積分或逆傅立葉轉換。

稍後我們將會介紹傅立葉轉換的特性，這些特性將有助於我們解決許多問題。工程或科學上有許多問題是以偏微分方程式表示的，若這些方程式本身是線性的(linear)，或是經由某種簡化可化成線性的，則我們往往可以利用傅立葉轉換幫助我們求解。O.D.E (ordinary differential equation) 經由傅立葉轉換後可以得到代數方程式，而P.D.E (partial differential equation) 經由傅氏轉換則可得到O.D.E。這些簡化後的方程式，均較原方程式容易求解，求得解析解(analytic solution)後，可求其逆傅立葉轉換而得到真正的解，若逆傅氏轉換無法獲得解析解，則我們可以利用離散傅氏轉換(D.F.T discrete fourier transform)去求得數值解。

本文內容如下安排：第一節是前言，第二節則比較傅氏級數與傅氏轉換的異同，第三節介紹褶積(convolution)及其傅氏轉換，第四節說明D.F.T和C.F.T (continuous fourier transform) 的關聯，第五節則是傅立葉轉換的應用，分別與其它學者的研究做定性和定量上的比較。附錄A是討論取樣定理(sampling theorem)的構成，附錄B是介紹D.F.T的特性。

二、傅氏級數和傅立葉轉換

綜合上述，我們將傅氏級數(Fourier series)和傅立葉轉換做一比較，如(表一)所示。周期為 T 的函數，或函數的定義域在有限距離內(設定義域長度為 T)，則函數可以用傅立葉級數表示

Eq(3.1)而其中 $\exp \frac{i2\pi t}{T}$ 為基底函數 C_n 為係數，

代表各頻率波的振幅大小。利用基底函數的正交性

可得 C_n Eq(3.2)。選定 $\exp \frac{i2\pi t}{T}$ 為基底函數，因此

C_n 的集合決定了 $h_1(t)$ ，而 C_n 與頻率有關，因此我們說在時域上的 $h_1(t)$ 函數，亦可由頻率域的 C_n 大小來描述，這也說明一個函數，我們可以從時域上去討論或從頻率域上去討論。

而當時域上的函數並非週期函數時，如 $h_2(t)$ ，則其可以寫成傅氏積分Eq(4.1)，又稱為逆傅立葉轉換，其中 $\exp(i2\pi ft)$ 亦可看做基底，而 $H(f)$ 則為振幅大小，由Eq(4.2)決定，而上式又稱為傅立葉轉換。從Eq(3.1)(3.2)和Eq(4.1),(4.2)的比較，我們知道其外觀非常相似，而其物理意義也相同，只不過前者頻率的為離散的，後者的為連續的。

若函數尚滿足其它特性，我們可以發現其傅氏級數和傅氏轉換亦都有一極相似的結果，如(表一)所示。

$$\begin{aligned} h_1(t) &= \sum_{n=-\infty}^{\infty} C_n \exp \frac{i2\pi nt}{T} & (3.1) \quad h_2(t) &= \int_{-\infty}^{\infty} H(f) \exp(i2\pi ft) df & (4.1) \\ C_n &= \frac{1}{T} \int_{-T/2}^{T/2} h_1(t) \exp \frac{-i2\pi nt}{T} dt & (3.2) \quad H(f) &= \int_{-\infty}^{\infty} h_2(t) \exp(-i2\pi ft) dt & (4.2) \\ \text{令 } i &= 1, 2, \text{ 其中 (4.2) 稱為傅立葉轉換, (4.1) 稱為逆傅立葉轉換。} & & & \\ h_i(t) &\text{為實數} \rightarrow C_n = C_n & (3.3) \quad H(-f) = H(f)^* & (4.3) \\ h_i(t) = h_i(-t) &\rightarrow C_n \text{為實數} & (3.4) \quad H(f) \text{為實數} & (4.4) \\ h_i(-t) = -h_i(t) &\rightarrow C_n \text{為虛數} & (3.5) \quad H(f) \text{為虛數} & (4.5) \\ \frac{1}{T} \int_{-T/2}^{T/2} |h_i(t)|^2 dt &= \sum_{n=-\infty}^{\infty} |C_n|^2 & (3.6) \quad \int_{-\infty}^{\infty} |h_2(t)|^2 dt &= \frac{1}{2\pi} \int_{-\infty}^{\infty} |H(f)|^2 df & (4.6) \end{aligned}$$

表一

傅立葉轉換的特性：本節我們介紹傅立葉轉換的基本特性，令 F 代表傅立葉轉換：

(1)線性

$$F\{ah(t)\} + F\{bg(t)\} = aF\{h(t)\} + bF\{g(t)\} \quad (5)$$

(2)時間尺度

(6)

$$F\{h(kt)\} = \frac{1}{|k|} F\{h(t)\}$$

(3)位移特性

$$F\{h(t-t_0)\} = F\{h(t)\} \cdot \exp(-i2\pi f t_0) \quad (7)$$

(4)180°旋轉

$$F\{F\{h(t)\}\} = h(-t) \quad (8)$$

(5)褶積(請見下節分析)

$$F\left\{ \int_{-\infty}^{\infty} h(\tau) g(t-\tau) d\tau \right\} =$$

$$F\{h(t)\} F\{g(t)\} \quad (9)$$

(6)Parseval's theorem (能量守恒定理)

$$\int_{-\infty}^{\infty} h(t) g^*(t) dt = \int_{-\infty}^{\infty} F\{h(t)\} F^*\{g(t)\} df \quad (10.a)$$

若 $g(t)=h(t)$ ，則

$$\int_{-\infty}^{\infty} |h(t)|^2 dt = \int_{-\infty}^{\infty} |F\{h(t)\}|^2 df \quad (10.b)$$

$$(7) F\left\{ \sum_{n=-\infty}^{\infty} \delta(t-nT) \right\} = f_0 \sum_{n=-\infty}^{\infty} \delta(f-f_0), f_0 = \frac{1}{T} \quad (11)$$

脈衝列的傅立葉轉換仍為脈衝列，(圖1)，這種特性在“取樣定理”(稍後介紹)中常用到。 $\delta(t)$ 為廣義函數(delta function)。

三、褶積及其傅立葉轉換

已知 $x(t)$ 和 $h(t)$ ，其褶積定義如下：

$$x * h = \int_{-\infty}^{\infty} x(\tau) h(t-\tau) d\tau$$

若已圖解方式，我們可以分為以下步驟，參閱(圖2)：

1. 折疊(folding)
2. 位移(displacement)
3. 相乘(multiplication)
4. 積分(integration)

由圖解方式，我們可以比較清楚了解褶積計算的過程，若 $x(t) = \sum_{n=-\infty}^{\infty} \delta(t-nT)$, $\delta(t)$ 為廣義函數，而

$h(t) = 1$ 當 $|t| \leq \frac{T}{4}$, $h(t) = 0$ 當 $|t| > \frac{T}{4}$ ，考

慮褶積 $x(t) * h(t)$ ，根據以上的步驟，我們可以知道將複製許多和 $h(t)$ 一樣的波形，且平移至廣義函數($\delta(t-nT)$)的所在位置，(如圖3)。

接著討論褶積的傅立葉轉換，經由計算我們可以了解：

$$F\{x * h\} = F\{x\} F\{h\}$$

也就是說褶積的傅立葉轉換等於函數分別做傅立葉轉換後之積。通常我們所謂的“濾波”，是指在頻率域上乘上一函數，例欲將 $h(t)$ 做band-pass，則乘上 $F(x) = 1$ 當 $|f| \leq f_c$, $F(x) = 0$ 當 $|f| > f_c$ ，然後再做逆傅立葉轉換，經由上式我們便可以知道濾波除了可以在頻率上進行外，亦可在時間域上進行(即做褶積)，其好處是可不必再做一次逆傅立葉轉換，其缺點則是得先知道 $x(t)$ 。

四、離散傅立葉轉換和連續傅立葉轉換之關係

在某些情況下，連續傅立葉轉換無法求得解析解，而必須藉助電腦求得數值解，因此如何將連續傅立葉轉換，經由“取樣”寫成離散(discrete)傅立葉級數，是值得重視的課題，所謂“取樣”，便是將連續函數選取“可數的有限個”函數值用以代表原來連續函數的性質，用氣象上的術語就是以網格點的值代表函數，而用數學式子來表示就是函數乘上脈衝列(或謂脈衝級數) $\sum_{n=-\infty}^{\infty} \delta(t-nT)$,

如圖(5.3a,b,c)。而取樣是否合理，就在 T 值大小。

(圖4)和(圖5)是兩種取樣的步驟，取樣(一)，取樣(二)，(圖4.e)和(圖4.f)是取樣後的離散函數，(圖4.g)和(圖5.f)則是其傅立葉轉換。其分別由(圖4.c)和(圖4.d)、及(圖5.c)和(圖5.d)的褶積所得。由這兩張圖，我們可以了解當 $T > \frac{1}{2f_c}$ 時， T 為取樣間隔，其離散函數的傅

了解當 $T > \frac{1}{2f_c}$ 時， T 為取樣間隔，其離散函數的傅

82年8月

氣象預報與分析

82年8月

申博文 呂木村

第136期

立葉轉換（圖5.f）和原函數的傅立葉轉換（圖5.c）差別很大，有混疊效應（aliasing），因此我們除了直觀的認定取樣時 T 不可太小外，同時在此也用圖解的方式說明 T 要小於等於 $\frac{1}{2f_c}$ 即 $T \leq \frac{1}{2f_c}$

），此即取樣定理條件。而就物理意義上討論， $h(t)$ 為band-limited，即 $H(f)=0$ 當 $|f| > f_c$ ， f_c 為截斷頻率（cut-off frequency），則其最大的頻率為 f_c ，相對應最小週期為 $\frac{1}{f_c}$ 。而欲描述一個波動現象（以三角函數波而言），最少需取樣三點即取樣間隔 T 需是周期的一半，因此欲描述最小週期的波，其 $T = \frac{1}{2} \cdot \frac{1}{f_c}$ ，而當採取 $T \leq \frac{1}{2} f_c$ 這種取樣時，自然不會漏掉任何週期的波，至於取樣定理的數學證明請見附錄A。

取樣（三）， $T = \frac{1}{2f_c}$ （圖6），我們可以發現恰可避免混疊（aliasing），但此離散函數的傅氏轉換（圖6.f），仍與原函數的傅氏轉換（圖6.c）有一段差距。因此若要在頻率上做取樣反求原函數時，為滿足頻域上的取樣定理，則必須將（圖6.f）的周期性取出一個周期，最直接的方式便是乘上一個Window函數（圖7.b），而其傅氏轉換為sinc函數（圖7.d），由（圖7.c）和（圖7.d）做褶積，我們可求得函原函數 $h(t)$ （圖7.f）。

為了產生離散傅氏轉換及離散逆傅氏轉換，以 $h(t)$ 為例，我們必須在時域及頻域上做“取樣”，而當頻域做取樣時，為了滿足頻域上的取樣定理，則 $h(t)$ 須滿足僅在有限區域內有值，即 $h(t)=0$ ， $|t| > T_0$ 。若 $h(t)$ 不滿足，通常我們得人為乘上一Window函數。整個流程可以用（圖8）來說明，左半圖為時域上函數的原貌，右半圖則是頻域上（經傅氏轉換後）的分佈情形。（圖8.a）為原函數 $h(t)$ 及其傅氏轉換 $H(f)$ ，經由時域上的取樣得（圖8.c），再乘上Window函數得（圖8.d）。透過頻域

上的取樣，則求得離散傅氏轉換對（圖8.g），至於離散傅氏轉換亦有許多性質和連續傅氏轉換相似，詳細對論請見附錄B。

五、傅立葉轉換的應用

時域經由傅立葉轉換後，是頻域上的函數，而空間函數 (x, y, z) 經由傅立葉轉換則為波數（Wave number）上的函數。考慮穩定的（steady）的線性化（linearized）的方程組（申，1992），經由傅立葉轉換，在波數空間可得到解析解（analytic solution），若逆傅立葉轉換不易求得解，但因為逆傅立葉轉換（inverse discrete fourier transform）去求得數值解。

考慮申（1992）方程組（3.1）～（3.5），討論不同尺度的地形產生的影響，我們將水平方做尺度轉換，令

$$x=ax', \quad y=ay'$$

則對應波數空間的尺度轉換為

$$k=\frac{k'}{a}, \quad l=\frac{l'}{a}$$

我們可求得

$$\eta = \int \int dk' dl' \exp(2\pi i(k'x'+l'y')) F_{x',y'}^{(h)}$$

$$u' = \int \int dk' dl' \exp(2\pi i(k'x'+l'y')) u_o F_{x',y'}^{(h)}$$

$$u' = \int \int dk' dl' \exp(2\pi i(k'x'+l'y')) u_o F_{x',y'}^{(h)}$$

$$p' = -\rho \int \int dk' dl' \exp(2\pi i(k'x'+l'y')) p_o F_{x',y'}^{(h)}$$

$$\xi' = f \int \int dk' dl' \exp(2\pi i(k'x'+l'y')) F_{x',y'}^{(h)}$$

$$m^2 = 4\pi^2(k'^2 + l'^2) \frac{N^2 - \frac{4\pi^2 k'^2 U^2}{a}}{4\pi^2 k'^2 U^2 - a^2 f^2}$$

$$u_o = (4\pi^2 k'^2 U^2 - i2\pi a l' f) \left(\frac{N^2 - \frac{4\pi^2 k'^2 U^2}{a}}{4\pi^2 k'^2 U^2 - a^2 f^2} \right) \quad (13.2)$$

$$v_o = (4\pi^2 k'^2 U^2 + i2\pi a k' f) \left(\frac{N^2 - \frac{4\pi^2 k'^2 U^2}{a}}{4\pi^2 k'^2 U^2 - a^2 f^2} \right)$$

$$p_o = (N^2 - \frac{4\pi^2 k'^2 N^2}{a}) \quad (13.4)$$

$$F_{x',y'}^{(h)} = \int \int h(ax'ay') \exp(-2\pi i(k'x'+l'y')) dx' dy' \quad (13.5)$$

而 η_s, τ_s, ks 由以下式子所定義：

$$\eta_s = \exp(-Mz), \quad M = \sqrt{-m^2} \quad \text{當 } \frac{aN}{2\pi U} < |k| \text{ 或 }$$

$$|k| < \frac{af}{2\pi U} \quad (14.1)$$

$$\tau_s = \frac{-1}{M} \exp(-Mz), \quad \text{同上} \quad (14.2)$$

$$ks = -M \exp(-Mz), \quad \text{同上} \quad (14.3)$$

$$\eta_s = \exp(imz), \quad \text{當 } \frac{af}{2\pi U} < |k| < \frac{aN}{2\pi U} \quad (14.4)$$

$$\tau_s = \frac{-i}{M} \exp(imz), \quad \text{同上...} \quad (14.5)$$

$$ks = im \exp(imz), \quad \text{同上...} \quad (14.6)$$

以下為方便起見，我們用 (x, y) 代替 (x', y') ，用 (k, l) 代替 (k', l') 。在Eq(12.1)～(12.5)中，我們得計算逆傅立葉轉換（Inverse Fourier transform），但假若被積函數為band-limited，即被積函數只有在某一個區域內有值，則CIFT（Continuous Inverse Fourier Transform），可用DIFT（Discrete Inverse Fourier transform）近似（見附錄A和B），進一步可用IFFT（Inverse Fast Fourier Transform）去計算，因為鐘形地形的傅立葉轉換為 $\exp(-2\pi \sqrt{k^2 + l^2})$ ，當 $l=0, k=1.1$ 其數量級大小為 $0(10^{-3})$ ，因此若我們選取 $|k| > 1$ ，則被積函數滿足Band-limited考慮：

水平計算範圍 $x: -24 \sim 24 \quad y: -24 \sim 24$

x 方向取樣點數 $M=128$

y 方向取樣點數 $N=128$

水平輸出範圍 $x: -6 \sim 6 \quad y: -6 \sim 6$

注意水平單位為地形尺度(a)， $\delta x = \frac{48}{M}$ ， $\delta y = \frac{48}{N}$ ，而為滿足取樣定理（Sampling theorem）

取 $\delta k = \frac{1}{M} \times \frac{1}{\delta x}$ 、 $\delta l = \frac{1}{N} \times \frac{1}{\delta y}$ 則波數k方向計算區

域為 $[-kc, kc]$ 、波動l方向計算區域 $[-lc, lc]$ ，

$kc = \frac{M}{2} \times \delta k = \frac{4}{3}$ 、 $lc = \frac{N}{2} \times \delta l = \frac{4}{3}$ 。

上述取樣過程，被積函數滿足Band-limited，因此可以用IFFT計算。為測試IFFT計算法則和程式，我們計算了一些結果，並且與現有的線性析解比較。為配合不同的水平尺度，因此物理量均以山高單位，且(1)當 $a=0.1km$ ，我們利用程式來求得Eq(12.2)和Eq(12.3)之風場擾動量的數值解，其結果滿足位勢流(Potential flow)型態，為一偶流(圖9.b)，與解析解(圖9.1)吻合。(2)而 $a=700km$, $f=10^{-4}$ 的結果(圖9.d)，則與Buzzi & Tibaldi(1977)和Smith(1979a)的解(圖9.c)一致，風場擾動量呈一渦漩流。以上均為定性比較，而個案(3)則是定量比較，在 $a=10km$ ，吾人求得之壓力擾動量分析如(圖9.f)，若和smith(1980)的結果比較(圖9.c)，則可發現其極大值分為3.83和3.8，誤差約1%。除以上比較外，值得注意的是，當相同地形尺度，但地形水平剖面為橢圓時，而長軸和基本風場有一夾角，其解仍類似偶流和渦漩流(圖10)。這是否意謂橢圓地形在 $a=0.1km, a=700km$ 時仍可求得解析解呢？值得我們繼續研究。

附錄 A :

取樣定理的構成：吾人以兩種方法來說明取樣

定理 (sampling theorem) 的函義及其推導的步驟。

(法一) (參考Rosenfeld & Kak(1982))

$$\text{令 } h(t) = \sum_{k=-\infty}^{\infty} h(k\Delta t)g(t-k\Delta t) \quad (\text{A.1})$$

$g(t-k\Delta t)$ 稱為權重函數 (weighting function)，若 $g(t-k\Delta t)$ 可求，則吾人可利用 $h(k\Delta t)$ 反求所有定義域上的函數值 $h(t)$ ，因此 $g(t-k\Delta t)$ 又稱為內插函數 (interpolation function)，然而我們如何求得 $g(t-k\Delta t)$ 呢？在以下的討論我們可以知道，當上式 (Eq A.1) 經由傅氏轉換後，等號仍成立所得之條件，即可求得 $g(t-k\Delta t)$ ，亦可獲取樣定理成立的條件。我們知道：

$$h(k\Delta t)g(t-k\Delta t) = \int_{-\infty}^{\infty} h(\tau)g(t-\tau) \cdot \delta(\tau-k\Delta t)d\tau \quad (\text{A.2})$$

$\delta(t)$ 為廣義函數 (delta function)，將 (Eq A.2) 代入 (Eq A.1)

$$h(t) = \int_{-\infty}^{\infty} h(\tau)g(t-\tau) \sum_{k=-\infty}^{\infty} \delta(\tau-k\Delta t)d\tau$$

$\sum_{k=-\infty}^{\infty} \delta(\tau-k\Delta t)$ 為脈衝列，若以 Δt 為週期，其

傅氏級數為 $\sum_{n=-\infty}^{\infty} \frac{1}{\Delta t} \exp\left(\frac{i2\pi n\tau}{\Delta t}\right)$ ，所以

$$h(t) = \int_{-\infty}^{\infty} h(\tau) \sum_{n=-\infty}^{\infty} \exp\left(\frac{i2\pi n\tau}{\Delta t}\right) \cdot$$

$$\frac{g(t-\tau)}{\Delta t} d\tau \quad (\text{A.3})$$

若傅氏轉換為

$$H(f) \equiv \int_{-\infty}^{\infty} h(t) \cdot \exp(-i2\pi ft)dt$$

將 (Eq A.3) 左右取傅氏轉換，則

$$H(f) = \frac{G(f)}{\Delta t} \sum_{n=-\infty}^{\infty} H(f - \frac{n}{\Delta t}) \quad (\text{A.4})$$

假設 $H(f)$ 為 band-limited，即

$$H(f)=0 \quad \text{當 } |f| \geq f_c$$

$$H(f) \neq 0 \quad \text{當 } |f| < f_c$$

而且

$$G(f) = \Delta t \quad (f) \geq f_c \\ 0 \quad (f) > f_c$$

則 (Eq A.4) 要避免混疊效應 (aliasing effect)，須滿足

$$-f_c + \frac{1}{\Delta t} \geq f_c \rightarrow \Delta t \leq \frac{1}{2f_c}$$

而此時

$$g(t) = \int_{-\infty}^{\infty} G(f) \exp(i2\pi ft) df = \int_{-f_c}^{f_c} \Delta t \exp(i2\pi ft) df \\ = \frac{\Delta t}{\pi t} \sin 2\pi fct$$

所以

$$g(t-k\Delta t) = \frac{\Delta t}{\pi(t-k\Delta t)} \sin 2\pi f_c(t-k\Delta t) \quad (\text{A.5})$$

將 (Eq A.5) 代入 (Eq A.1)，則取樣定理可以寫成：

當 $H(f)=0, |f| > f_c$, f_c 為截斷頻率 (cut-off frequency)，若 Δt 為取樣間隔，當 $\Delta t \leq \frac{1}{2f_c}$ ，則

$$h(t) = \sum_{k=-\infty}^{\infty} h(k\Delta t) \frac{\Delta t}{k(t-k\Delta t)} \cdot \sin 2\pi f_c(t-k\Delta t) \quad (\text{A.6})$$

(法二) (參考weaver (1983))

$$h(t) = \int_{-\infty}^{\infty} H(f) \exp(i2\pi ft) df \quad (\text{A.7})$$

$$H(f) = \int_{-\infty}^{\infty} h(t) \exp(-i2\pi ft) dt \quad (\text{A.8})$$

由 (A.7) 我們知道若 $H(f)$ 可求，則 $h(t)$ 可求，可是接著我們會問， $H(f)$ 是否可藉由離散的函數值 ($h(k\Delta t)$) 求得呢？

設 $h(t)$ 為 band-limited，即

$$H(f)=0 \quad |f| > f_c > 0$$

則 $H(f)$ 可以寫成傅氏級數，且其週期為 $2f_c$

$$H(f) = \sum_{k=-\infty}^{\infty} C_k \exp\left(\frac{i2\pi kf}{2f_c}\right) \quad (\text{A.9})$$

根據 Euler's formula

$$C_k = \frac{1}{2f_c} \int_{-f_c}^{f_c} H(f) \exp\left(-\frac{i2\pi kf}{2f_c}\right) df \quad (\text{A.10})$$

由 (Eq A.7)

$$h(t) = \int_{-f_c}^{f_c} H(f) \exp(i2\pi ft) df \quad (\text{A.11})$$

比較 (Eq A.10) 和 (Eq A.11)，若令 $t = \frac{-k}{2f_c}$ ，則

$$h(t) = h\left(\frac{-k}{2f_c}\right) = \int_{-f_c}^{f_c} H(f) \exp\left(\frac{-i2\pi kf}{2f_c}\right) df$$

$$= 2f_c k$$

$$C_k = \frac{1}{2f_c} h\left(\frac{-k}{2f_c}\right) \quad (\text{A.12})$$

由 (Eq A.12) 和 (Eq A.9) 我們知道，離散的函數

($h\left(\frac{-k}{2f_c}\right)$) 描述了 $H(f)$ ，再將其代入 (Eq A.7)，則

$$h(t) = \int_{-f_c}^{f_c} \sum_{k=-\infty}^{\infty} \frac{1}{2f_c} h\left(\frac{-k}{2f_c}\right) \exp\left(\frac{i2\pi kf}{2f_c}\right) \cdot$$

$$\exp(i2\pi ft) df$$

$$= \sum_{k=-\infty}^{\infty} \frac{h\left(\frac{-k}{2f_c}\right)}{2f_c} \int_{-f_c}^{f_c} \exp(i2\pi f\left(\frac{k}{2f_c} + t\right)) df$$

$$= \sum_{k=-\infty}^{\infty} \frac{h\left(\frac{-k}{2f_c}\right)}{2f_c} \cdot \frac{\sin 2\pi f_c\left(\frac{k}{2f_c} + t\right)}{\pi\left(\frac{k}{2f_c} + t\right)}$$

$$\text{若 } t = \frac{-k}{2f_c}, \Delta t = \frac{1}{2f_c}, k \rightarrow -k$$

$$= \sum_{k=-\infty}^{\infty} \Delta t h(k\Delta t) \cdot \frac{\sin 2\pi f_c(t-k\Delta t)}{\pi(t-k\Delta t)} \quad (\text{A.13})$$

我們將 (Eq A.13) 和 (Eq A.6) 比較，可以發現兩種方法均可達到相同的結論，只是推導方式不同，而且 (法二) 的假設比較強烈。

(附錄 B)

B.1 離散傅立葉轉換 (D.F.T., Discrete Fourier Transform)

THEOREM A:

$$F(n) = \frac{1}{N} \sum_{k=0}^{N-1} f(k) \exp\left(-2\pi i \frac{kn}{N}\right) \quad n \in [0, N-1] \quad (\text{B-1})$$

$$f(k) = \sum_{n=0}^{N-1} F(n) \exp\left(2\pi i \frac{kn}{N}\right) \quad k \in [0, N-1] \quad (\text{B-2})$$

說明：

1: $\frac{1}{N}$ 的 factor 可以放在 Eq(B-1) or Eq(B-2)，或者兩式均各擺 $\frac{1}{\sqrt{N}}$ 。B-1 為 DFT, B-2 為 IDFT

2: (i) $k=0 \sim (N-1)$ 對應 $t: (0 \sim T)$,

: (ii) $n=0 \sim (\frac{N}{2}-1)$ 對應 $\omega: (0 \sim \Omega)$,

$\frac{N}{2} \sim (N-1)$ 對應 $\omega: (-\Omega \sim 0)$

3: 也就是說， $f(t): t \in [0, T]$,

$$F(\omega): \omega \in [-\Omega, \Omega]$$

4: $f(t)$ 為實數，則 $R(\omega)$ 為偶函數， $I(\omega)$ 為奇函數，所以頻率域 (Frequency Domain) 取為 $[-\Omega, \Omega]$ 是合理的。 $F(\omega) \equiv R(\omega) + iI(\omega)$

5: (B-2)是由 Eq(B-1) & Orthogonality

$$: \sum \exp(2\pi i \frac{kn}{N}) \times \exp(-2\pi i \frac{rn}{N}) = 0, r \neq k \\ = N, r=k \text{ 推得}$$

由 Eq(B-1), Eq(B-2) 我們知道

THEOREM B: (週期性)

$$F(j+N) = F(j) \quad (\text{B-3})$$

$$f(j+N) = f(j) \quad (\text{B-4})$$

82年8月

申博文 呂木村

第136期

證明：

(一)證明Eq(B-1)，考慮：

$$\begin{aligned} F(\omega) &= \int_{-\infty}^{\infty} f(t) \exp(-2\pi i \omega t) dt \\ &= \int_0^T f(t) \exp(-2\pi i \omega t) dt \\ t=k\Delta t, k=0 \sim (N-1), N\Delta t=T \\ &= \Delta t \sum_{k=0}^{N-1} f(k\Delta t) \exp(-i2\pi\omega k\Delta t) \end{aligned}$$

IF $\omega = n\Delta\omega$, $\omega \in [-\Omega, \Omega]$, $N\Delta\omega = 2\Omega$,

$$n \in \left[-\frac{N}{2}, \frac{N}{2} - 1 \right]$$

$$\text{let } \Delta\omega \cdot \Delta t = \frac{1}{N}$$

$$= \Delta t \sum_{k=0}^{N-1} f(k\Delta t) \exp(-i2\pi \frac{nk}{N})$$

$$F(n\Delta\omega) = \Delta t \sum_{k=0}^{N-1} f(k\Delta t) \exp(-i2\pi \frac{nk}{N}) \quad (B-1)$$

(二)證明〔說明：2〕，考慮 $F(n)$, $n \in \left[-\frac{N}{2}, \frac{N}{2} - 1 \right]$ (1): $n \in \left[0, \frac{N}{2} - 1 \right]$ 時, $F(n)$ 不變(2): $n \in \left[-\frac{N}{2}, -1 \right]$ 時, 由 THEOREM B 我們可以知道

道

$$F\left(\frac{-N}{2}\right) = F\left(\frac{-N}{2} + N\right) = F\left(\frac{N}{2}\right) \dots \text{shift } N$$

$$F\left(\frac{-N}{2} + 1\right) = F\left(\frac{-N}{2} + 1 + N\right) = F\left(\frac{N}{2} + 1\right) \dots \text{shift } N$$

$$F\left(\frac{-N}{2} + 2\right) = F\left(\frac{-N}{2} + 2 + N\right) = F\left(\frac{N}{2} + 2\right) \dots \text{shift } N$$

$$F(-1) = F(-1+N) = F(N-1) \dots \text{shift } N$$

(3): 由(1); (2): 我們可以知道：

$$n \in \left[-\frac{N}{2}, -1 \right] \rightarrow n \in \left[\frac{N}{2}, N-1 \right] \text{ 所以}$$

$$n \in \left[-\frac{N}{2}, \frac{N}{2} - 1 \right] \rightarrow n \in [0, N-1]$$

而其中 $\left[-\frac{N}{2}, \frac{N}{2} - 1 \right]$ 代表負頻率 $[-\Omega, 0]$

THEOREM C

我們可以知道，若 $f(t)$ 為實數，則 $R(\omega)$ 為偶函數， $I(\omega)$ 為奇函數，所以若將頻率域 $\left[-\frac{N}{2}, \frac{N}{2} - 1 \right]$ 變為 $[0, N-1]$ 則：參閱 Fig B (摘自申1990)

$$R\left(\frac{j+N}{2}\right) = R\left(-\frac{j+N}{2}\right), \text{ 對 } \frac{N}{2} \text{ 對稱}, j=1 \sim (N-1)$$

$$I\left(\frac{j+N}{2}\right) = -I\left(-\frac{j+N}{2}\right), \text{ 對 } \frac{N}{2} \text{ 反對稱}, j=1 \sim (N-1)$$

但是注意

$$f\left(\frac{j+N}{2}\right) \neq f\left(-\frac{j+N}{2}\right)$$

證明：

若 $f(t)$ 為實數，則由 Eq(B.1)，我們知道

$$R(n) = \Delta t \sum_{k=0}^{N-1} f(k) \cos\left(\frac{2n\pi k}{N}\right)$$

$$I(n) = -\Delta t \sum_{k=0}^{N-1} f(k) \sin\left(\frac{2n\pi k}{N}\right)$$

$$1: R\left(\frac{j+N}{2}\right)$$

$$= \Delta t \sum f(k) \cos\left(\frac{2n\pi k}{N} + K\pi\right)$$

$$= \Delta t \sum (-1)^k f(k) \cos\left(\frac{2n\pi k}{N}\right)$$

$$2: R\left(-\frac{j+N}{2}\right)$$

$$= \Delta t \sum f(k) \cos\left(\frac{-2n\pi k}{N} + K\pi\right)$$

$$= \Delta t \sum (-1)^k f(k) \cos\left(\frac{-2n\pi k}{N}\right)$$

$$由 1, 2: 我們知道 R\left(\frac{j+N}{2}\right) = R\left(-\frac{j+N}{2}\right)$$

$$3: I\left(\frac{j+N}{2}\right)$$

$$= -\Delta t \sum f(k) \sin\left(\frac{2n\pi k}{N} + K\pi\right)$$

$$= -\Delta t \sum (-1)^k f(k) \sin\left(\frac{2n\pi k}{N}\right)$$

82年8月

氣象預報與分析

$$4: I\left(\frac{j+N}{2}\right)$$

$$= -\Delta t \sum f(k) \sin\left(\frac{-2n\pi k}{N} + K\pi\right)$$

$$= -\Delta t \sum (-1)^k f(k) \sin\left(\frac{-2n\pi k}{N}\right)$$

$$\text{由 3, 4: 我們知道 } I\left(\frac{j+N}{2}\right) = -I\left(-\frac{j+N}{2}\right) \text{。以上結果}$$

如圖 Fig B。

B.2 D.F.T(Continuous Fourier Transform)

與 D.F.T(Discrete Fourier Transform)

1.D.F.T → C.F.T. 由 Eq(B.2)

$$f(k) = \sum_{n=0}^{N-1} F(n) \exp(i2\pi \frac{kn}{N})$$

$$= \sum_{n=0}^{\frac{N}{2}-1} F(n) \exp(i2\pi \frac{kn}{N})$$

$$+ \sum_{n=\frac{N}{2}}^{N-1} F(n) \exp(i2\pi \frac{kn}{N})$$

$$= \sum_{n=0}^{N-1} F(n) \exp(i2\pi \frac{kn}{N})$$

$$+ \sum_{n=-N}^{-1} F(n+N) \exp(i2\pi \frac{kn}{N})$$

$$= \sum_{n=\frac{N}{2}}^{\frac{N}{2}-1} F(n) \exp(i2\pi \frac{kn}{N})$$

$$= \frac{1}{\Delta f} \int_{-\Omega}^{\Omega} F(\omega) \exp(i2\pi i\omega t) dt$$

$$\omega = n\Delta\omega, \omega \in [-\Omega, \Omega], N\Delta\omega = 2\Omega,$$

$$n \in \left[-\frac{N}{2}, \frac{N}{2} - 1 \right]$$

2. 反之 C.F.T → D.F.T 亦可推得

THEOREM D:

若 $f(t): T \in [A, A+T]$, $F(\omega) \omega \in [-\Omega, \Omega]$ 則

$$F(n\Delta\omega) = \exp(-i2\pi n\Delta\omega A) G(n\Delta\omega)$$

$$n \in \left[-\frac{N}{2}, \frac{N}{2} \right] \quad (B-5)$$

$$G(n'\Delta\omega) = \Delta t \sum_{k=0}^{N-1} g(k\Delta t) \exp(-i2\pi \frac{nk}{N})$$

$$n' \in [0, N-1] \quad (B-5-1)$$

$$g(k\Delta t) = f(A+k\Delta t), k \in [0, N-1]$$

所以吾人可利用 IMSL 中之 FFTCF 去計算

$$G(n'\Delta\omega), n' \in [0, N-1], \text{ 然後將 } n' \in \left[-\frac{N}{2}, \frac{N}{2} - 1 \right]$$

$$\text{移至 } \left[-\frac{N}{2}, -1 \right] \text{ 則可以得到 } G(n\Delta\omega), n \in \left[-\frac{N}{2}, \frac{N}{2} - 1 \right]$$

據此便可以計算 $F(n\Delta\omega)$ 了。

證明：

$$F(\omega) = \int_{-\infty}^{\infty} f(t) \exp(-2\pi i \omega t) dt$$

$$= \int_A^{A+T} f(t) \exp(-2\pi i \omega t) dt$$

$$t=t'+A, g(t')=f(t'+A), t' \in [0, T]$$

$$= \exp(-i2\pi\omega A) \int_0^T g(t') \exp(-2\pi i \omega t') dt'$$

$$t'=k\Delta t', k=0 \sim (N-1), N\Delta t'=T$$

$$= \exp(-i2\pi\omega A) \Delta t \sum_{k=0}^{N-1} g(k\Delta t) \exp(-i2\pi\omega k\Delta t)$$

$$\text{IF } \omega = n\Delta\omega, \omega \in [-\Omega, \Omega], N\Delta\omega = 2\Omega,$$

$$n \in \left[-\frac{N}{2}, \frac{N}{2} - 1 \right]$$

$$\text{let } \Delta\omega \cdot \Delta t = \frac{1}{M}$$

滿足取樣定理 (SAMPLING THEOREM)

$$= \exp(-i2\pi n\Delta\omega A) \Delta t \sum_{k=0}^{N-1} g(k\Delta t) \exp(-i2\pi \frac{nk}{N})$$

$$F(n\Delta\omega) = \exp(-i2\pi n\Delta\omega A) G(n\Delta\omega) \quad (B-5)$$

$$G(n\Delta\omega) = \Delta t \sum_{k=0}^{N-1} g(k\Delta t) \exp(-i2\pi \frac{nk}{N})$$

$$n \in \left[-\frac{N}{2}, \frac{N}{2} \right]$$

根據 THEOREM A: 我們可以知道 $G(n\Delta\omega) = G(n'\Delta\omega)$

$$G(n' \Delta \omega) = \Delta t \sum_{k=0}^{N-1} g(k \Delta t) \exp(-i 2 \pi \frac{n' k}{N})$$

$n' \in [0, N-1]$

參考資料

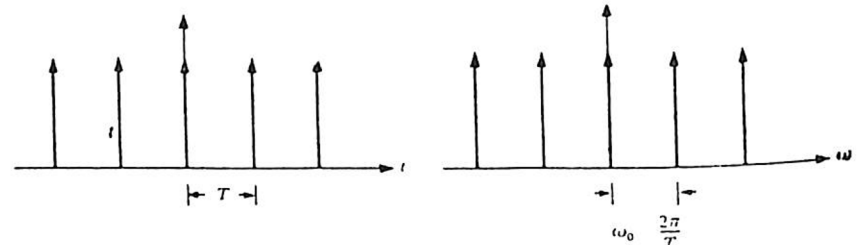
申博文，1993：三維地形對大氣運動的影響—線性解。國立中央大學大氣物理研究所碩士論文85pp。

黃調元、鄭柏壽，1972：傅立葉分析，復漢出版社，362pp。

Buzzi, A., and S. Tibaldi, 1977: Inertial and frictional effects on rotations stratified flow over topography. Quart. Roy. Meteor. Soc., 103, 135-150.

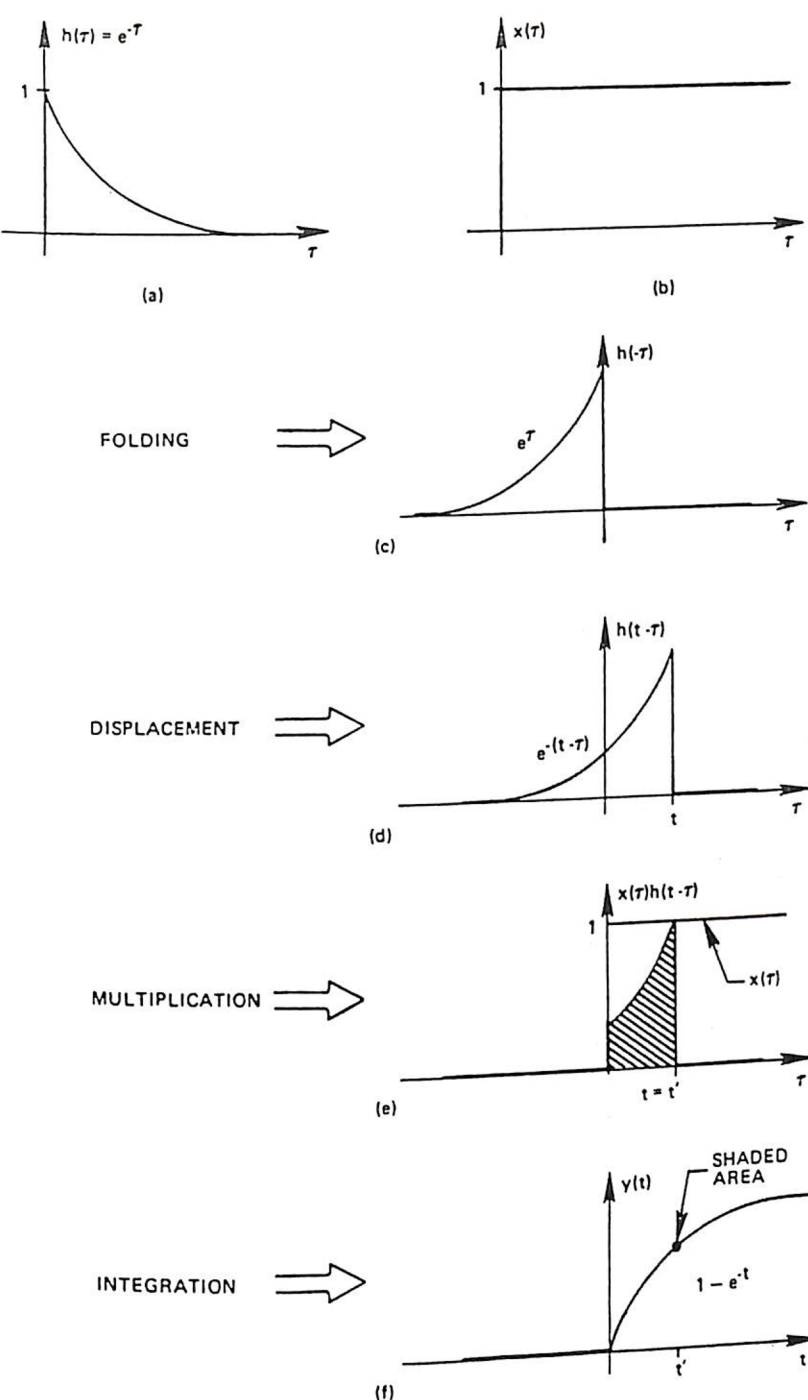
Brigham, E.O.: The Fast Fourier Transform. 252pp.

Hilderbrand, F.B., 1976: Advanced Calculus for Application. Prentice-Hall, 733 pp, chapter 11, p636-637.



(圖 1) : 脈衝列及其傅氏轉換。摘自黃&鄭(1972)

- Kreyszig, 1983: Advanced Engineering Mathematics. 台灣版
- Rosenfeld, A., and A.C. Kak., 1982: Digital Picture Processing Academic Press, 435 pp, chapter 4, p71-75.
- Smith, R.B., 1979 : The influence of mountain on the atmosphere. Advances in Geophysics, Vol.21, Academic Press, 87-230.
- Smith, R.B., 1980: Linear theory of stratified hydrostatic flow past an isolated mountain. Tellus, 32, 348-364.
- Weaver, H.J., 1983: Applications of Discrete and Continuous Fourier Analysis. Wiley-Interscience. 375pp.
- Yuan, S.W., 1972: Foundations of Fluid Mechanics. Prentice-Hall, Inc. 608pp. p234.

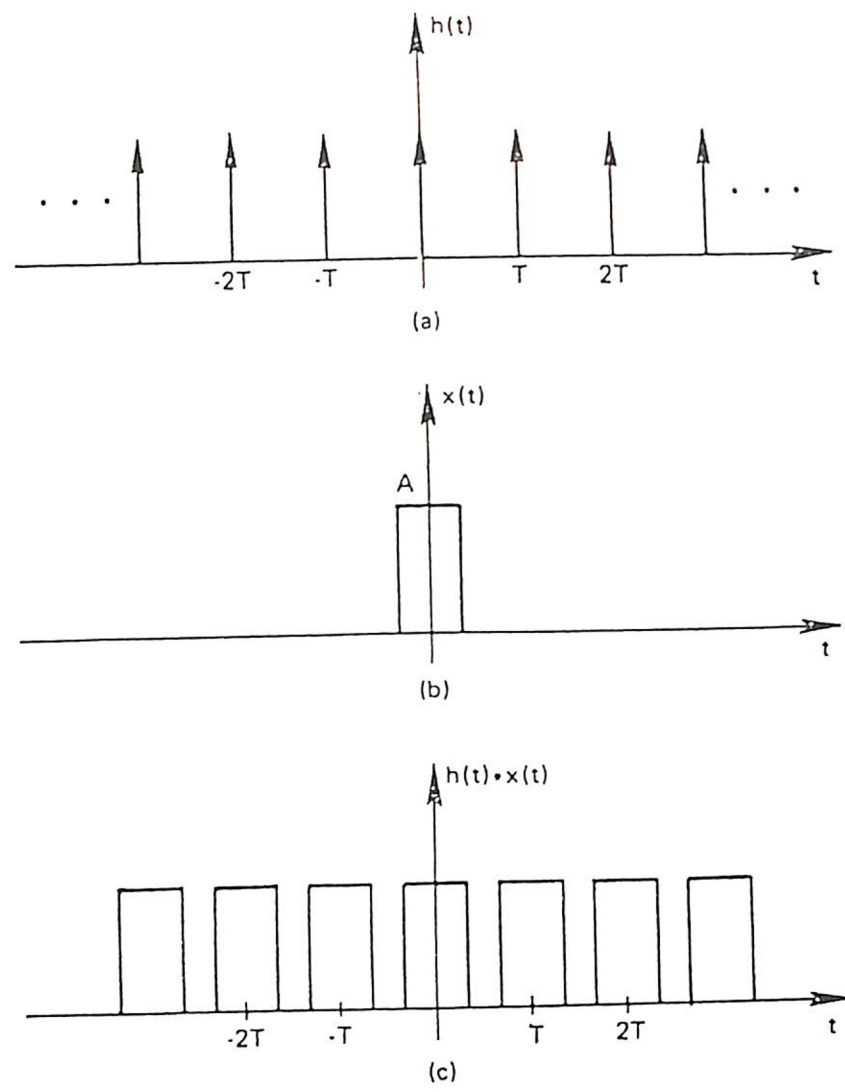


(圖 2) : 褶積的計算過程、折疊、位移、相乘、積分。摘自 Brigham。

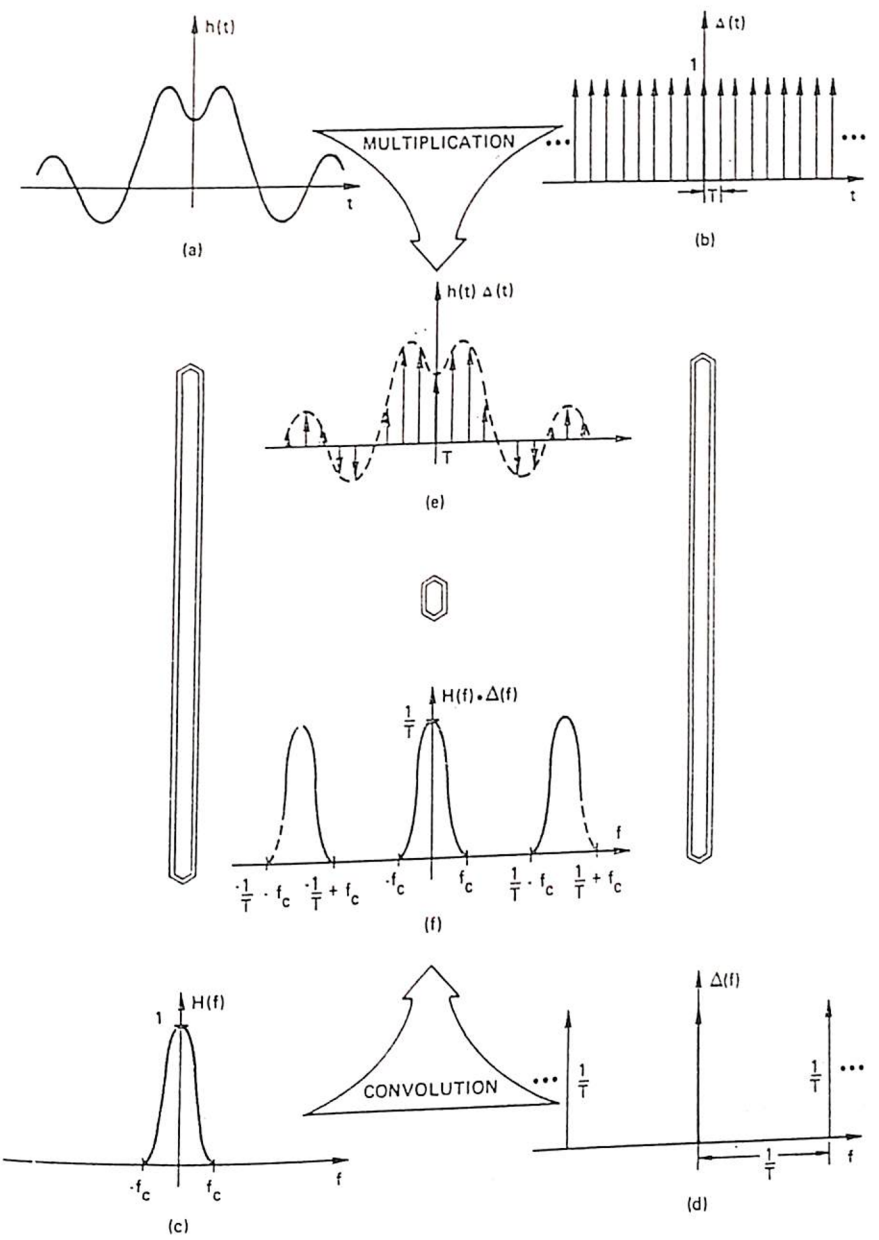
82年8月

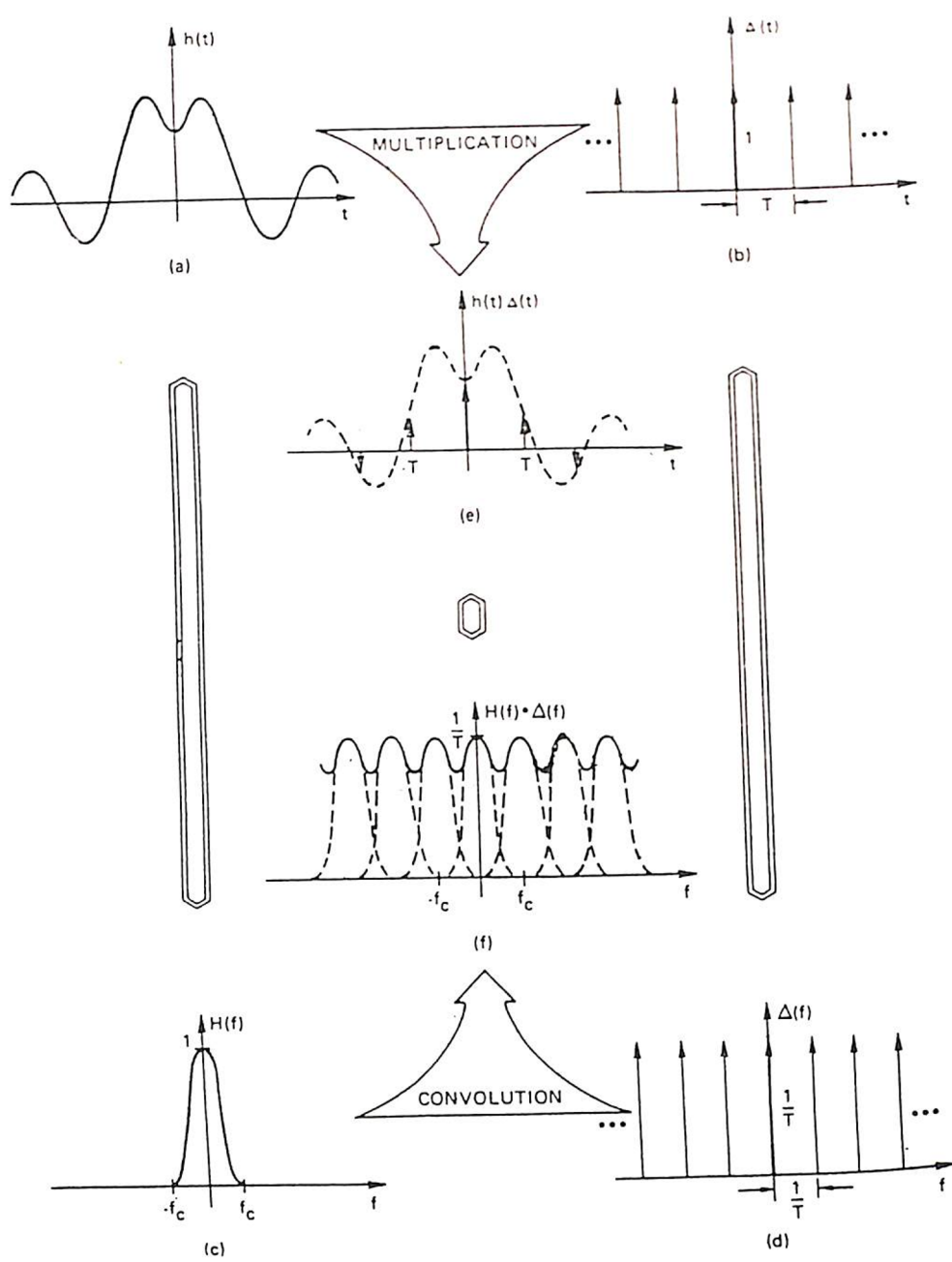
申博文 呂木村

第136期



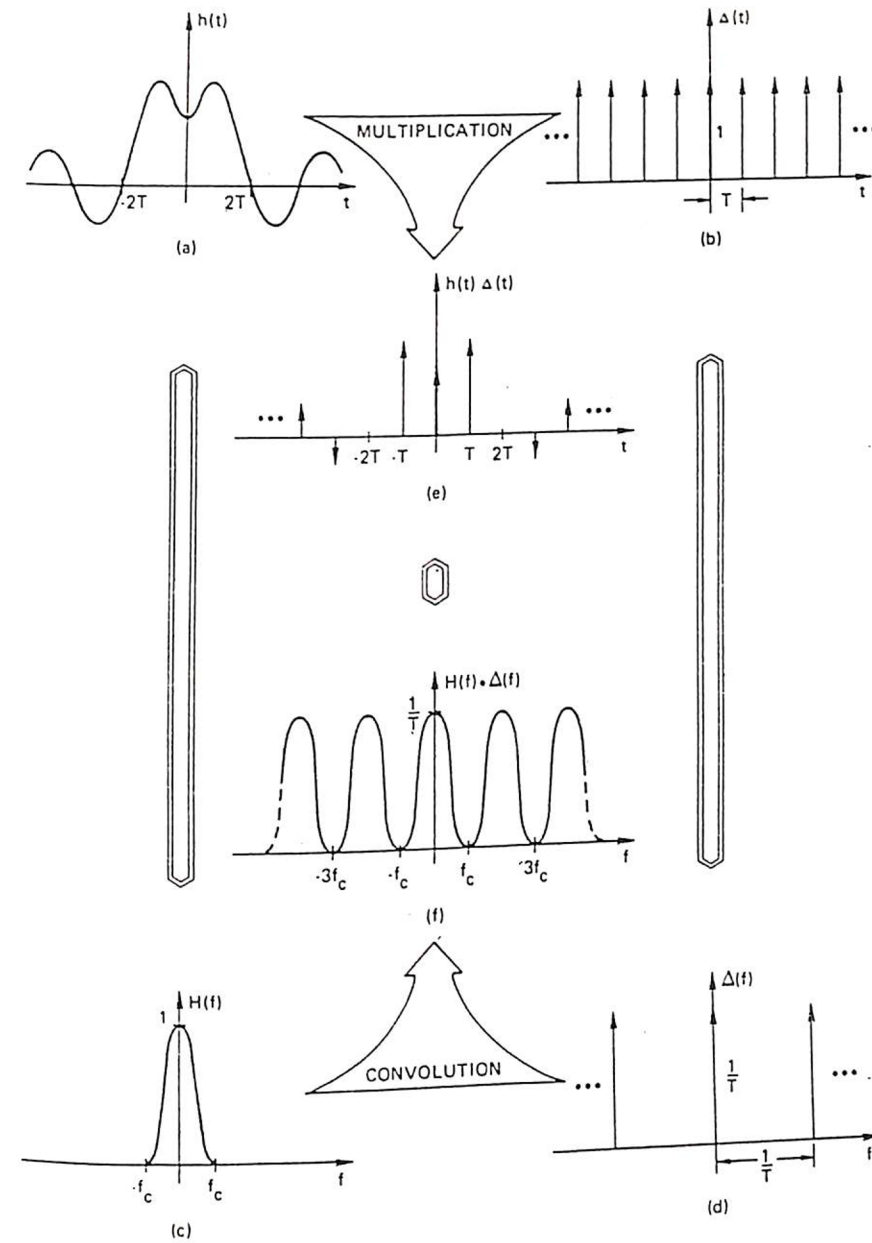
(圖 3)：函數和脈衝列的褶積。摘自Brigham。

(圖 4)：取樣(-)，取樣的圖解說明， f_c 為截斷頻率 (Cut-off frequency) ，
 $T \leq \frac{1}{2f_c}$ ， ⊕ 代表傅氏轉換或逆傅氏轉換。摘自Brigham。

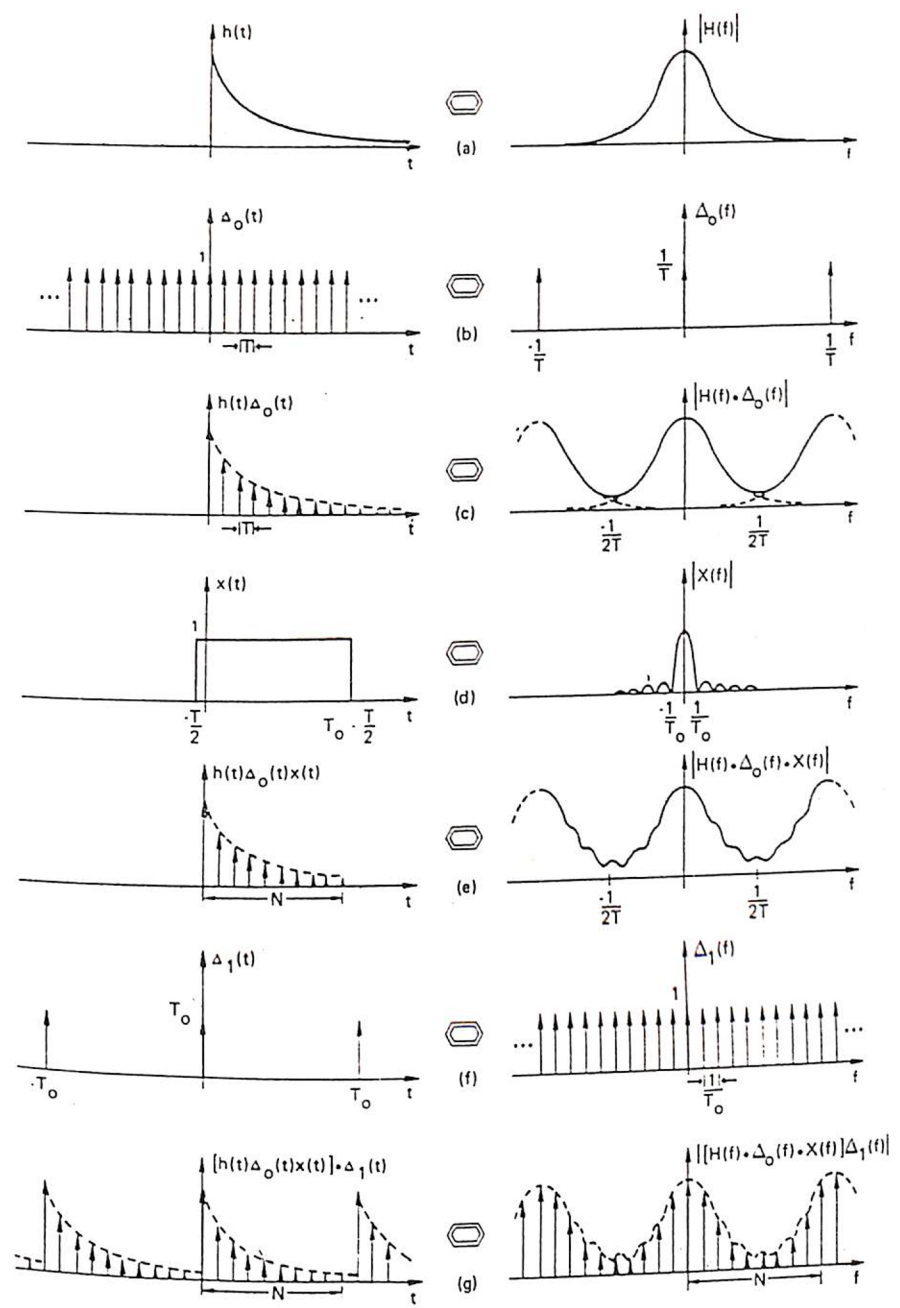
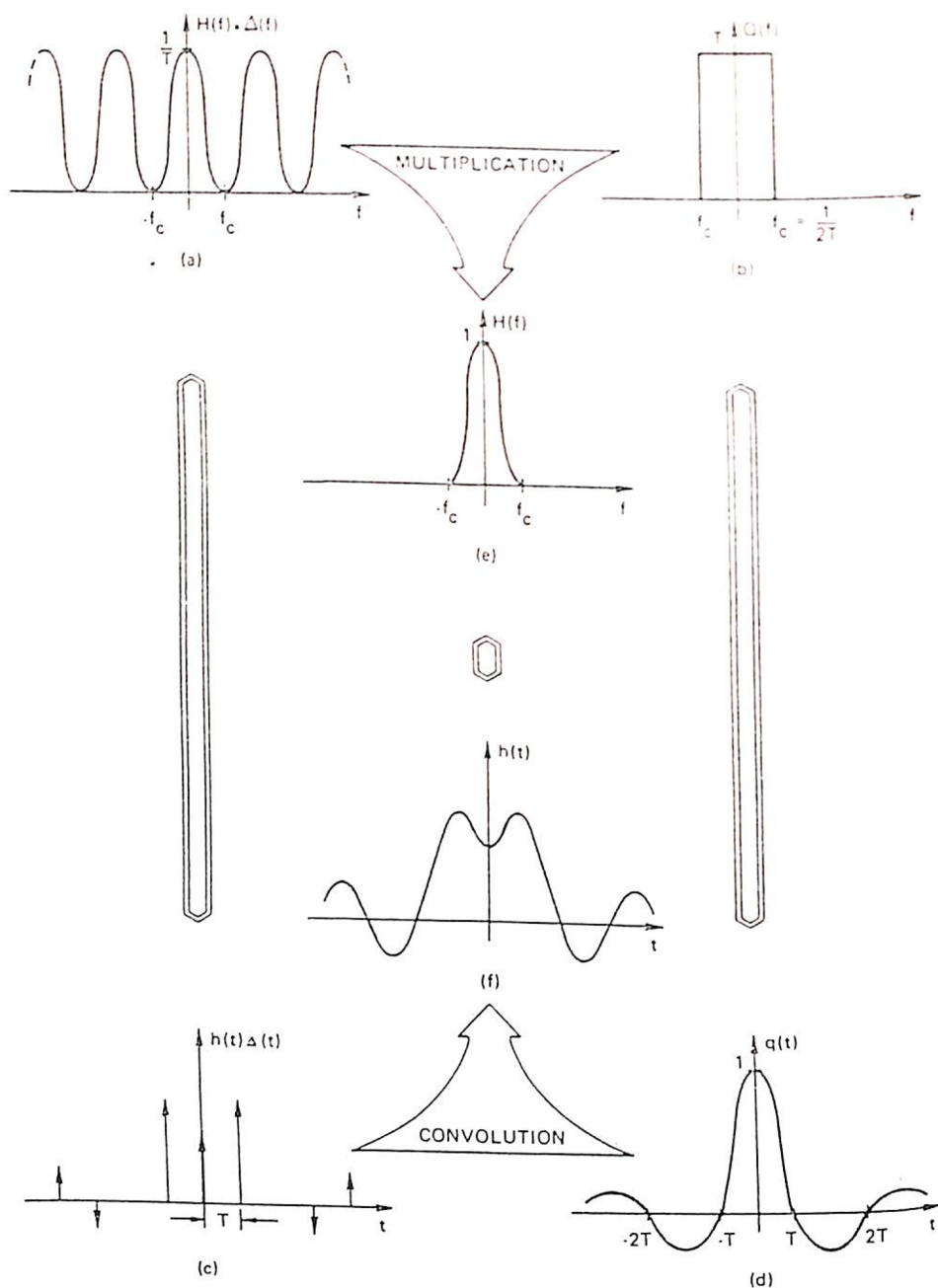


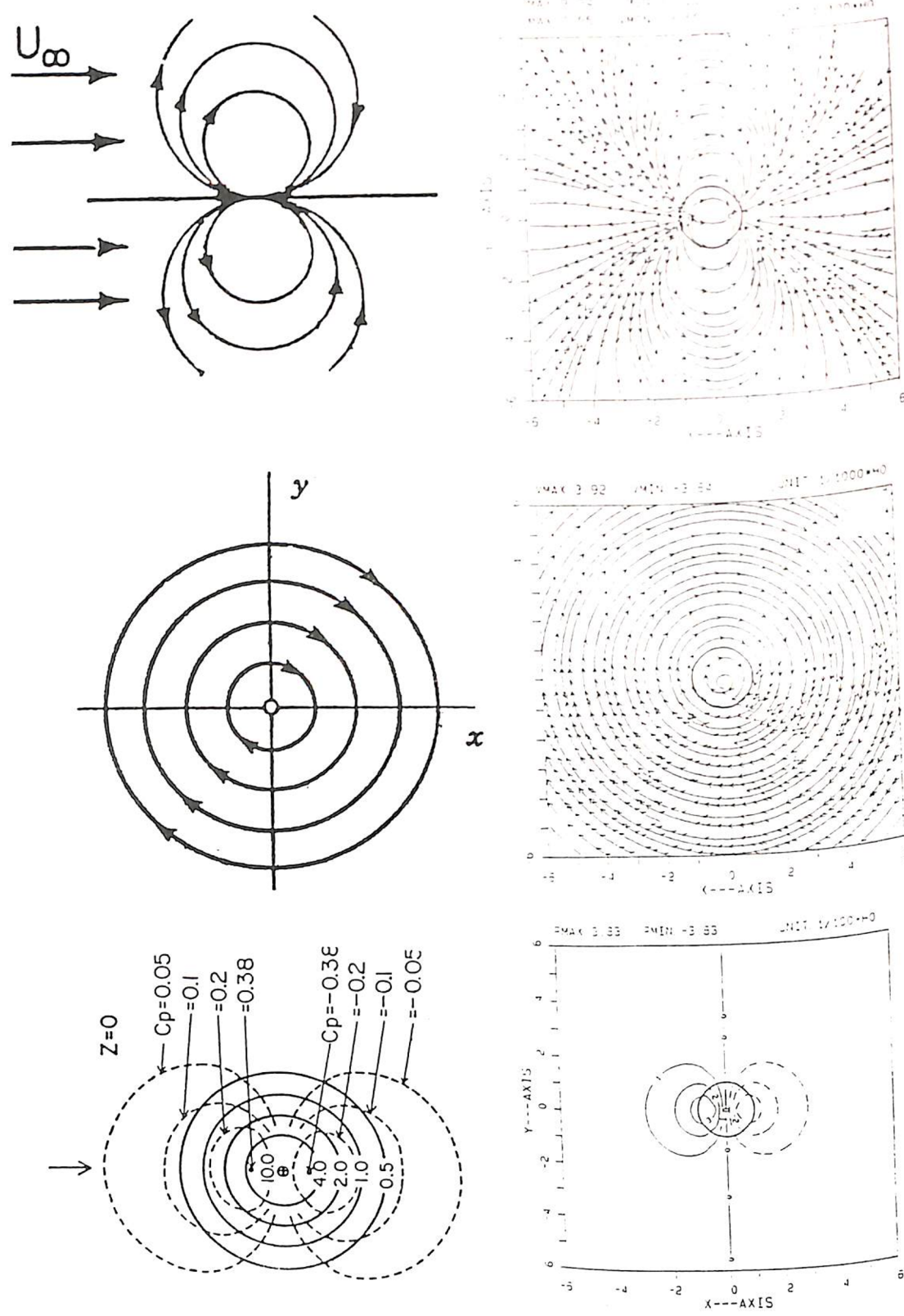
(圖 5) : 取樣(二), 說明同前, $T > \frac{1}{2f_c}$, 有混疊效應 (aliasing effect)。

摘自 Brigham。

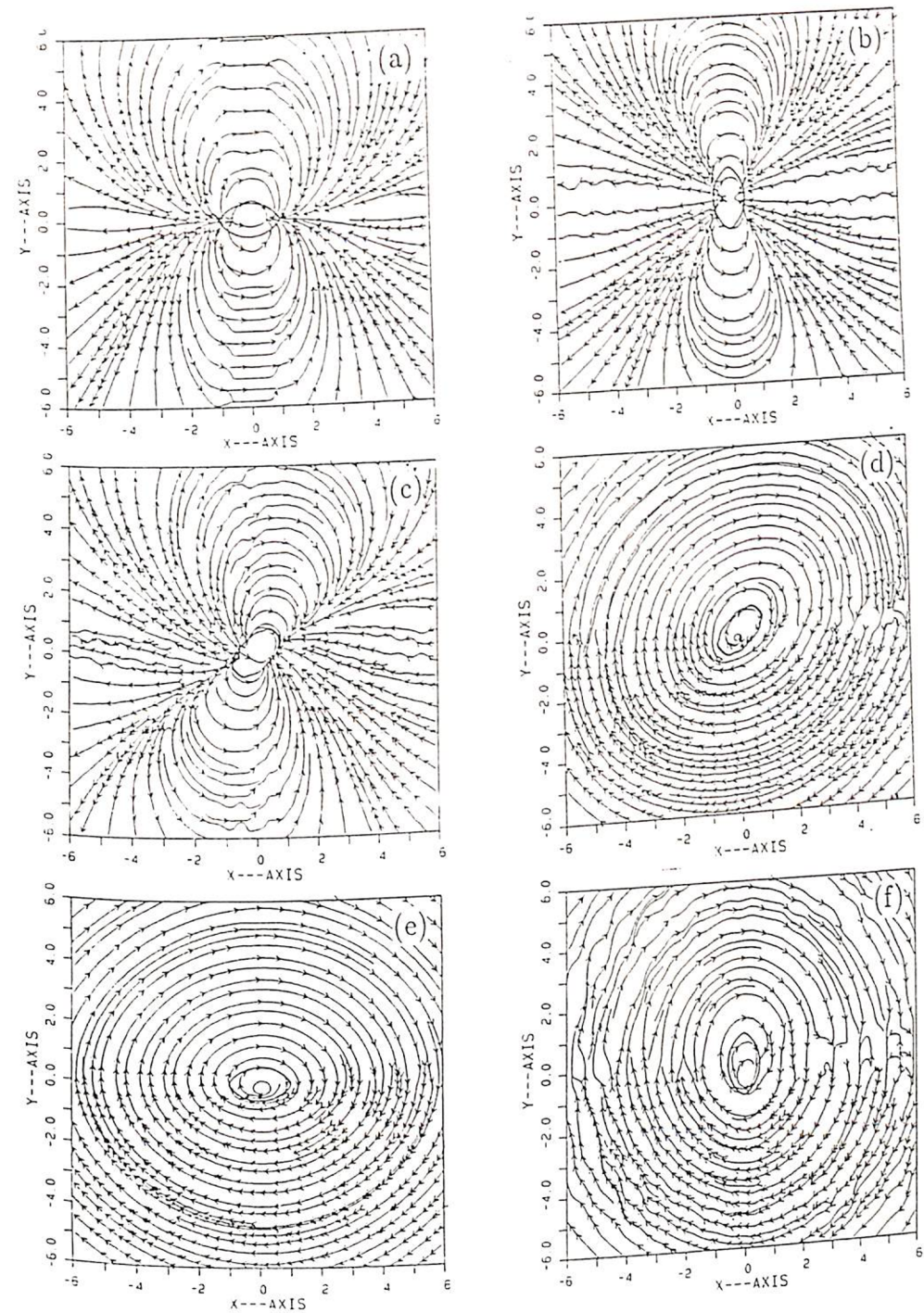


(圖 6) : 取樣(三), 說明同前, $T = \frac{1}{2f_c}$ 。摘自 Brigham。





(圖 9)：(a)偶流(donblet)，摘自Yuan(1967)。(c)渦旋流 (point vortex)，
摘自Hiderbrand(1976)。(e)無科氏力，靜力下，壓力擾動量之穩定解，
摘自Smith(1980)。(b), (d), (f)說明同(a), (c), (e)，但利用FFT求得之
數值解。摘自申(1992)。

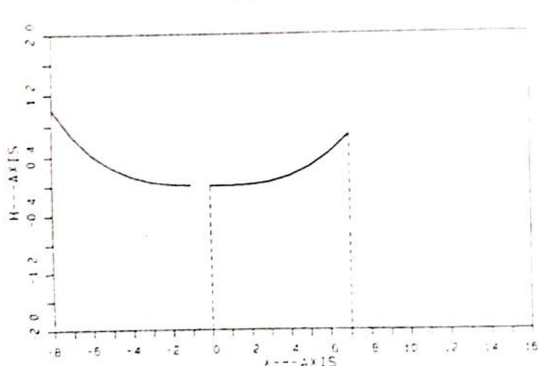


(圖 10)不同旋轉角度之橢圓地形的流場分佈，長短軸為 $2:1$ ， θ 為長軸與 y 軸的夾角，
順時鐘為正。(a) $a = 0.1\text{ km}$, $\theta = 90^\circ$ 。(b) $a = 0.1\text{ km}$, $\theta = 0^\circ$ 。(c) $a = 0.1\text{ km}$, $\theta = 45^\circ$ 。
(d) $a = 700\text{ km}$, $\theta = 45^\circ$ 。(e) $a = 700\text{ km}$, $\theta = 90^\circ$ 。(f) $a = 700\text{ km}$, $\theta = 0^\circ$ 。摘自申(1992)。

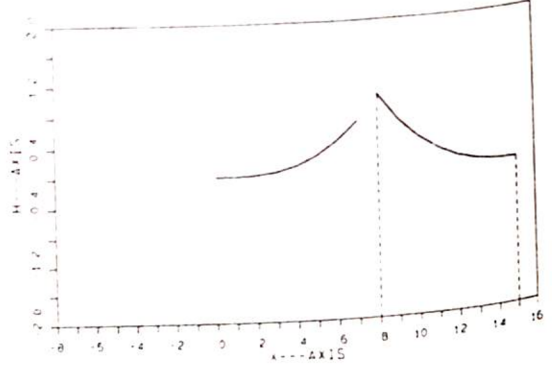
82年8月

申博文 呂木村

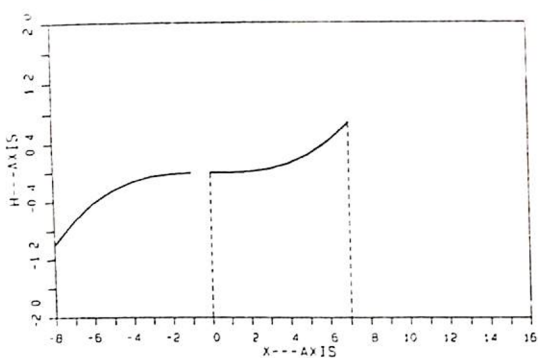
Fig(B.1.a)



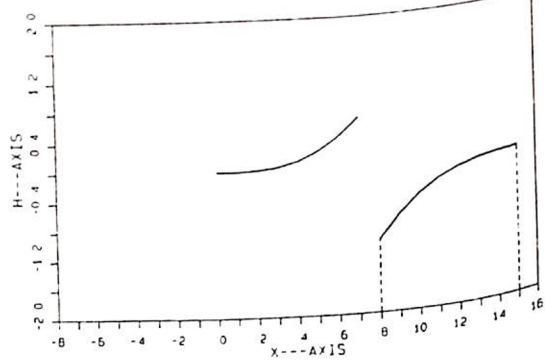
Fig(B.1.b)



Fig(B.2.a)



Fig(B.2.b)



Fig(B.1.a) : $R(\omega)$ 為偶函數, 所以對原點($n=0$)對稱

Fig(B.1.b) : 平移後($[\frac{N}{2}, -1] \Rightarrow [\frac{N}{2}, N-1]$) 則對 $n = \frac{N}{2}$ 成對稱

Fig(B.2.a) : $I(\omega)$ 為奇函數, 所以對原點($n=0$)反對稱

Fig(B.2.b) : 平移後($[\frac{N}{2}, -1] \Rightarrow [\frac{N}{2}, N-1]$) 則對 $n = \frac{N}{2}$ 成反對稱

注 意： Fig(B.1.a), Fig(B.2.a) 的第一點 ($n = \frac{N}{2}$) 沒有對應

Fig(B.1.b), Fig(B.2.b) 的第一點 ($n=0$) 沒有對應